

川崎重工業(株) 正員 長井 正嗣
 大阪大学 正員 小松 定夫
 大阪大学 学生員 西牧 世博

1. まえがき

領域型の問題を解析する手法として、領域内で場の支配方程式を満足する解をもつて境界条件(基本および自然条件)を近似的に満足しようとする手法がある。境界要素法(Boundary Element Method)がこの種の手法の1つであり、現在では弾性問題のみならず動的問題および塑性問題へとその適用範囲を拡張されてある。この手法は他の代表的手法、差分法および有限要素法に比して、①系の自由度を減少する。②データ量が減少できる。③解の精度の向上が期待できる。④無限領域の解析に適している。などの利点を有している。さて、この解法を数值計算という観点からみれば、境界を有限の要素に分割しその区間で力学量を補間関数をもつて近似することになる。この様な離散化手法をもつてFig. 1に示す有限要素が得られたことになり、最近ではこの要素を通常の有限要素と結合しようとする試みも活発に実施されている。ところで、境界での力学量の近似は従来、取り扱いの簡便さをもって区間内一定近似が多用された。しかしながら、問題によつては極めて多くの節点が必要となり、境界のみの自由度で解析しようとする本法の特長が失われる事になり、あわせて他の解法、特に有限要素法との結合において、接合部で変位の非適合が生じるなど不都合である。そこで、境界での力学量を1次以上の補間関数で近似する解析手法をもつて2次元連続体の解析を実施した。また、その際生じた数値計算上の問題について言及し、あわせて本法の特長を論じることとした。

2. 基礎方程式

弾性問題における本法の基礎方程式は以下の様に与えられる。(容積力無視)

$$C_{ij} U_j + \int_P P_{ij}^* U_j dP = \int_P U_{ij}^* P_i dP \quad (1)$$

ここで、 U_j^* , P_j^* は素解と呼ばれるもので、この場合、平面応力状態における Kelvin 解をもつてよい。また、 C_{ij} は素解 P_j^* が $\rightarrow 0$ で特異積分となるための係数で、Cauchy の主値の意味で理解する必要がある。次に、領域内の変位は(1)式において $C_{ij} = \delta_{ij}$ とおけばよく、応力はそれにフックの方則を適用すればよい。境界上の未知量が求まれば、任意の位置で変位および応力が求まることになる。

3. 散離化解析手法

境界を N 個の領域(要素)に分割し、境界上の変位および応力を補間関数 N_1 , N_2 をもつて節点値 U^n , P^n と関係づけると、特定の節点に対して、

$$C^n U^n + \sum_j \left\{ \int_{P_j} P^* N_1 / J dP_j \right\} U^n = \sum_j \left\{ \int_{P_j} U^* N_2 / J dP_j \right\} P^n \quad (2)$$

を得る。ここで、

$$U^* = \begin{bmatrix} U_{11}^* & U_{12}^* \\ U_{21}^* & U_{22}^* \end{bmatrix}, \quad P^* = \begin{bmatrix} P_{11}^* & P_{12}^* \\ P_{21}^* & P_{22}^* \end{bmatrix}$$

であり、例えば Fig. 2 に示す変位の1次補間を参考すると、無次元化された座標 ξ をもつて、

$$\begin{bmatrix} U \\ V \end{bmatrix} = \begin{bmatrix} 1/2(1-\xi) & 0 & 1/2(1+\xi) & 0 \\ 0 & 1/2(1-\xi) & 0 & 1/2(1+\xi) \end{bmatrix} \begin{bmatrix} U_i \\ U_{i+1} \\ U_j \\ U_{j+1} \end{bmatrix} = N_i U^n \quad (3)$$

となる。また、 $|J|$ は素解の離散化に関するヤコーピアンである。(2)式をすべての節点について適用すると、最終的に以下の様な弾性方程式を得る。

$$A \cdot U = B \cdot P$$

— (4)

4. 高次要素固有の問題点とその処理

境界上の力学量を1次以上の高次関数で近似すると、Fig. 3に示すように、隅角点で性質の異なる物理量が合成されるようになる形で表わされるという不都合が生じる。この様な場合にはFig. 4に示す“分離”ないし同一座標ごとに2つの節点を設ける“二重点”を用いることにより性質の異なる物理量が分離される。本法は、この処理を余分な節点を設けずにプログラム上で自動的に処理することとし、有利な“二重点”を主として使用することにした。

5. 数値計算例と考察

Fig. 5に示す斜め支持板の解析例を通じて検討を行う。ここでは、境界力学量を2次関数で近似した。また、Fig. 6に比較計算に使用した有限要素分割図を示す。

①要素分割—境界応力の滑らかな領域では粗い要素分割、また、乱れ領域で細分割を実施したモデル(Fig. 7, 22節点)で、A点での応力を除けばFEM解とはほぼ同一精度が得られることがわかった。

②境界要素長と応力の収束性—Fig. 8および9に点AおよびBの応力の収束性と要素長の関係を示す。A点では収束状況に乱れが生じている。これは境界線上の応力分布の近似による影響を強く受けたためで、この場合でもと同程度に要素分割すれば十分収束した解が得られることがわかった。また、B点ではかなり細かい分割で十分な精度の解が得られることがわかった。

6.まとめ

本文を記述しながる。数値計算例を通じて得られた結果は、①. 境界応力の滑らかな領域では、かなり粗い分割でも十分な精度の解が得られる。②. 領域内部応力の評価は、その近傍の境界要素長に支配され、離れた境界要素の長さを変化させてもその影響をほとんど受けない。である。また、FEMとの比較では、要素分割に注意を設けなければ十分少ない連続節点で同程度の精度が得られることがわかった。一般に2次元問題では、FEMは帯状対称マトリックスとなり、本法の様な非対称正方マトリックスに比較して演算時間の面で有利である。しかしながら、高次要素を導入することにより、少ない自由度でFEMより有利に計算しうることがわかった。

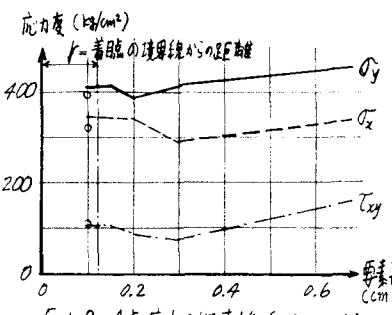


Fig. 8 A点応力の収束性(OIP FEM)

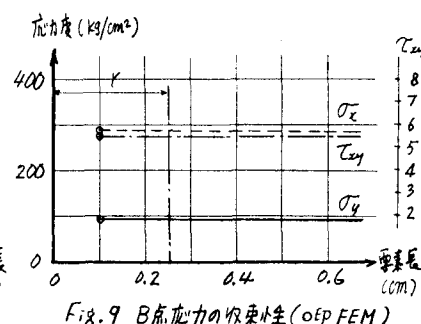


Fig. 9 B点応力の収束性(OEP FEM)

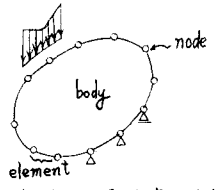


Fig. 1 境界要素分割

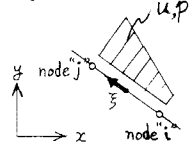


Fig. 2 未知量の線形表示

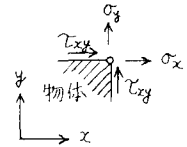


Fig. 3 隅角点での応力

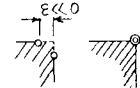


Fig. 4 隅角点処理

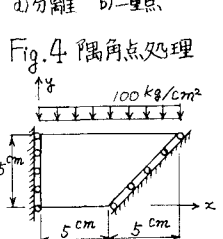


Fig. 5 数値計算モデル

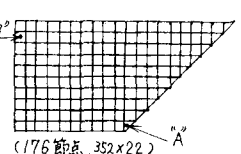


Fig. 6 有限要素分割図

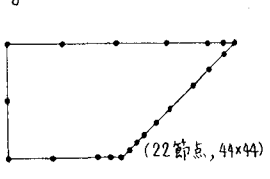


Fig. 7 境界要素分割図